

การวิเคราะห์เชิงเวลาของการหดตัวของเสาเชิงประกอบในอาคารสูง ตามขั้นตอนการก่อสร้าง



นายพิทักษ์ ศิริภาพรณ

ศูนย์วิทยทรัพยากร
จุฬาลงกรณ์มหาวิทยาลัย

วิทยานิพนธ์นี้เป็นส่วนหนึ่งของการศึกษาตามหลักสูตรปริญญาวิศวกรรมศาสตรมหาบัณฑิต

ภาควิชาวิศวกรรมโยธา


บัณฑิตวิทยาลัย จุฬาลงกรณ์มหาวิทยาลัย

ปีการศึกษา 2539

ISBN 974-634-910-4

ลิขสิทธิ์ของบัณฑิตวิทยาลัย จุฬาลงกรณ์มหาวิทยาลัย

TIME - DEPENDENT ANALYSIS OF AXIAL SHORTENING OF CONCRETE COMPOSITE
COLUMNS IN HIGH - RISE BUILDINGS WITH STAGE CONSTRUCTION



MR. Pitak Siripharpun

ศูนย์วิทยทรัพยากร
จุฬาลงกรณ์มหาวิทยาลัย

A Thesis Submitted in Partial Fulfillment of the Requirements

for the Degree of Master of Engineering

Department of Civil Engineering

Graduate School

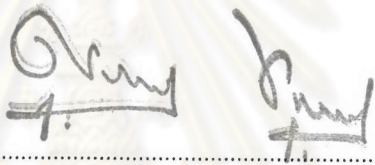
Chulalongkorn University

Academic Year 1996

ISBN 974-634-910-4

หัวข้อวิทยานิพนธ์ การวิเคราะห์เชิงเวลาของการหดตัวของเสาเชิงประกอบในอาคารสูง ตามขั้นตอนการก่อสร้าง
 โดย นายพิทักษ์ ศิริภาพรรณ
 ภาควิชา วิศวกรรมโยธา
 อาจารย์ที่ปรึกษา ศาสตราจารย์ ดร. ปณิธาน ลักคุณะประสิทธิ์

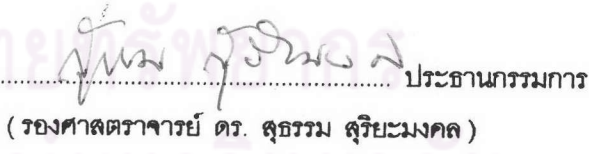
บัณฑิตวิทยาลัย จุฬาลงกรณ์มหาวิทยาลัย อนุมัติให้มอบวิทยานิพนธ์ฉบับนี้เป็นส่วนหนึ่งของการศึกษาตามหลักสูตรปริญญามหาบัณฑิต



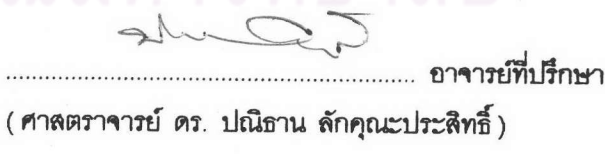
(ศาสตราจารย์ นายแพทย์ ศุภวัฒน์ ชูติวงศ์)
 คณบดีคณะแพทยศาสตร์
 รักษาราชการแทนคณบดีบัณฑิตวิทยาลัย

คณะกรรมการสอบวิทยานิพนธ์


คณบดีบัณฑิตวิทยาลัย
 จุฬาลงกรณ์มหาวิทยาลัย



ประธานกรรมการ
 (รองศาสตราจารย์ ดร. สุธรรม สุริยมงคล)



อาจารย์ที่ปรึกษา
 (ศาสตราจารย์ ดร. ปณิธาน ลักคุณะประสิทธิ์)



กรรมการ
 (ดร. นุชชัย สติตมันโนธรรม)

พิมพ์ต้นฉบับบทคัดย่อวิทยานิพนธ์ภายในกรอบสี่เหลี่ยมนี้เพียงแผ่นเดียว

พิทักษ์ ศิริภาพรรณ : การวิเคราะห์เชิงเวลาของการหดตัวของเสาเชิงประกอบในอาคารสูง ตามขั้นตอนการก่อสร้าง (TIME-DEPENDENT ANALYSIS OF AXIAL SHORTENING OF CONCRETE COMPOSITE COLUMNS IN HIGH-RISE BUILDINGS WITH STAGE CONSTRUCTION) อ. ที่ปรึกษา : ศ.ดร. ปณิธาน ลักคุณะประสิทธิ์ , 192 หน้า. ISBN 974-634-910-4

งานวิจัยนี้ศึกษาพฤติกรรมการหดตัวของเสาหน้าตัดคอนกรีตเสริมเหล็กรวมทั้งเสาเชิงประกอบภายใต้น้ำหนักบรรทุกกระทำคงค้าง (Sustained load) โดยพิจารณาถึงผลที่เกิดขึ้นทันทีทันใด และผลแปรเปลี่ยนเชิงเวลาจากการคืบ (Creep) และการหดตัว (Shrinkage) ของคอนกรีต ในวิธีวิเคราะห์ที่ได้จำลองโครงสร้างเป็นโครงข้อแข็งประกอบด้วยชิ้นส่วนคานขนาดสามเหลี่ยม (Prismatic beam element) ซึ่งสมมติว่าไม่เกิดการแตกร้าวในช่วงใช้งานเหล็กเสริม และเหล็กรูปพรรณซึ่งเสริมในชิ้นส่วนคานจะถือว่ามีกาวยึดเหนี่ยวกับคอนกรีตอย่างสมบูรณ์ จึงทำให้เขียนสติฟเนสของเหล็กได้ในพจน์การเปลี่ยนตำแหน่งของหัวของชิ้นส่วนคาน โดยวิธีสติฟเนสโดยตรง (Direct stiffness method) สามารถทำการสังเคราะห์สติฟเนสของโครงสร้างตามเวลา โดยที่พฤติกรรมเชิงเวลาของคอนกรีตถูกจำลองด้วยวิธีโมดูลัสเทียบเท่าปรับแก้อายุ (Age-adjusted effective modulus method) ค่าสัมประสิทธิ์การคืบจะพิจารณาตามข้อเสนอแนะของคณะกรรมการ ACI 209 การวิเคราะห์จะพิจารณาสภาพการเพิ่มน้ำหนักบรรทุกตามขั้นตอนการก่อสร้างด้วย วิธีวิเคราะห์ที่เสนอนี้เหมาะสำหรับประยุกต์ใช้ในการประมาณค่าการหดตัวที่แตกต่างกันของเสา (Differential column shortening) ซึ่งมีความจำเป็นต่องานวิจัยในอาคารสูง

จากผลลัพธ์การวิเคราะห์เสาเดี่ยวซึ่งมีปริมาณเหล็กเสริม 1%, 2%, 5% และ 8% เมื่อเปรียบเทียบกับผลจากวิธีแรงของ Beasley พบว่าการคำนวณโดยวิธีสติฟเนสอย่างละเอียดจะให้ผลลัพธ์ตรงกัน ส่วนวิธีประมาณโดยใช้ค่าสติฟเนสที่เวลาเฉลี่ยในช่วงเวลาที่พิจารณาจะให้ความผิดพลาดมากที่สุดประมาณ 10%-12% ของค่าจริง เหล็กเสริม (หรือเหล็กรูปพรรณที่เสริม) ในคอนกรีตจะให้ผลเหนียวรั้งทำให้ลดการหดตัวของเสาอันเกิดจากการคืบ และการหดตัวจากการสูญเสียความชื้นในคอนกรีตให้น้อยลงได้ 20%-70% สำหรับปริมาณเหล็กเสริม 1%-8% โดยอัตราการลดนี้ไม่เป็นแบบเชิงเส้น แต่จะมีอัตราลดลงเร็วประมาณ 15%-20% เมื่อปริมาณเหล็กเสริมอยู่ในช่วง 1%-2% และอัตรานี้จะเหลือราว 5% ที่ปริมาณเหล็กเสริม 8% ผลจากการเหนียวรั้งของเหล็กเสริมทำให้เกิดการปรับกระจายแรงภายในคอนกรีตลดลงและส่งผลไปยังเหล็กเสริมเพิ่มขึ้น ทำให้หน่วยแรงภายในเหล็กเสริมที่เวลาอนันต์มีค่าประมาณ 2-3.5 เท่าของหน่วยแรงเริ่มแรก

การวิเคราะห์ผลการหดตัวของเสาในกรณีศึกษาคือ อาคารใบหยก 2 พบว่าการหดตัวที่แตกต่างกันของเสาคู่ประชิดกันที่ชั้นบนสุดมีค่ามากที่สุดประมาณ 22.5 มม. ในกรณีนี้สมมติว่าเสาหดตัวได้โดยอิสระ แต่ถ้าพิจารณาผลการเหนียวรั้งของคานยึดระหว่างเสาที่ทุกชั้น ค่าการหดตัวที่แตกต่างกันนี้จะลดลงประมาณ 20% จากค่าการหดตัวอย่างอิสระ

ภาควิชา วิศวกรรมโยธา
สาขาวิชา วิศวกรรมโครงสร้าง
ปีการศึกษา 2539

ลายมือชื่อนิติ
ลายมือชื่ออาจารย์ที่ปรึกษา
ลายมือชื่ออาจารย์ที่ปรึกษาร่วม

C 615209 : MAJOR CIVIL ENGINEERING

KEY WORD: TIME DEPENDENT / AXIAL SHORTENING / STAGE CONSTRUCTION / AGE-ADJUSTED

EFFECTIVE MODULUS

PITAK SIRIPHARPHUN : TIME-DEPENDENT ANALYSIS OF AXIAL SHORTENING OF CONCRETE COMPOSITE COLUMNS IN HIGH - RISE BUILDINGS WITH STAGE CONSTRUCTION. THESIS ADVISOR : PROF. PANITAN LUKKUNAPRASIT , Ph.D. 192 pp. ISBN 974-634-910-4

The behaviour of axial shortening of reinforced concrete and composite columns under sustained loading was studied , considering the instantaneous component and time dependent effects of creep and shrinkage in concrete. In the method of analysis the structure is modeled as a plane frame using prismatic beam elements which are assumed to be uncracked in the service condition. The embedded reinforcing steel and structural steel are assumed to be perfectly bonded with the concrete. Thus the steel stiffness can be obtained in terms of the nodal displacements of the concrete beam element. The time dependent stiffness property of the structure is synthesized by means of the direct stiffness method , using the age-adjusted effective modulus approach to model the time dependent behaviour of concrete , with the creep coefficient as recommended by the ACI Committee 209 used in the formulation. Incremental loading with stage construction is taken into account in this study. The method is suitable for computing differential column shortenings which are significant and need to be taken into consideration in the design of high - rise buildings.

Free shortening analyses of a reinforced concrete column with varying reinforcement ratios of 1% , 2% , 5% and 8% yielded excellent agreement between the detailed method proposed and the force method developed by Beasley , whereas the approximate method gives rise to maximum discrepancies of about 10%-12% in the column shortening. In the approximate method , the stiffness matrices were evaluated at an average time in the time interval under consideration The steel reinforcement (or embedded structural steel) results in restraining effect , thereby reduces column shortening due to creep and shrinkage of concrete by about 20%-70% for reinforcement ratios of 1%-8%. The rate of decrease is not linear , being about 15%-20% at reinforcement ratios of 1%-2% and 5% at the maximum reinforcement ratio of 8%. The restraining effect of steel reinforcement leads to transfer of some of the internal force in the concrete to the reinforcing steel , thereby increasing the internal stress in the steel to about 2-3.5 times of the initial values.

In the case study of Baiyoke 2 tower , the maximum differential free column shortening was found to be 22.5 mm. However , when the frame interaction arising from the presence of the connecting beams was considered , the differential column shortening was significantly reduced by 20%.

ภาควิชา.....วิศวกรรมโยธา.....

สาขาวิชา.....วิศวกรรมโครงสร้าง.....

ปีการศึกษา..... 2539.....

ลายมือชื่อนิสิต..... .....

ลายมือชื่ออาจารย์ที่ปรึกษา..... .....

ลายมือชื่ออาจารย์ที่ปรึกษาร่วม.....



กิตติกรรมประกาศ

ในการทำวิทยานิพนธ์ฉบับนี้ผู้เขียนขอกราบขอบพระคุณ ศาสตราจารย์ ดร. ปณิธาน ลักคุณะประสิทธิ์ ซึ่งเป็นอาจารย์ที่ปรึกษาได้ให้ความรู้ ความสนใจเอาใจใส่ และให้คำแนะนำต่าง ๆ ในอันที่เป็นประโยชน์อย่างยิ่งรวมทั้งกรุณาตรวจสอบ และแก้ไขในการทำวิทยานิพนธ์ฉบับนี้จนสำเร็จลุล่วงไปอย่างสมบูรณ์ ขอกราบขอบพระคุณคณะกรรมการสอบวิทยานิพนธ์อันประกอบด้วย ศาสตราจารย์ ดร. สุธรรม สุริยะมงคล และ ดร. บุญไชย สถิตมั่นในธรรม ที่ได้ให้คำแนะนำและตรวจสอบแก้ไขวิทยานิพนธ์ในอันที่เป็นประโยชน์ต่อการทำวิทยานิพนธ์ฉบับนี้เป็นอย่างมาก

นอกจากนี้การทำวิทยานิพนธ์ครั้งนี้ผู้จัดทำได้รับความร่วมมือ การตอบข้อข้องใจต่างๆ และได้รับความอนุเคราะห์เกี่ยวกับข้อมูล ที่เป็นประโยชน์ด้วยดีเสมอมาอย่างดียิ่ง ผู้เขียนจึงขอขอบคุณมา ณ โอกาสนี้ด้วยจากผู้ที่มีส่วนเกี่ยวข้องดังนี้ คือ

1. คุณ ขาติชาย ศรีศรีธัญยา
2. คุณ ปิยะ กนกนิตยอนันต์ วิศวกรประจำบริษัท โปรเจค เพลนนิ่ง เซอร์วิส จำกัด
3. คุณ สุานิต ปัญจันทร์สิงห์ วิศวกรประจำบริษัท คอนกรีตคอนสตรัคชั่น (ประเทศไทย) จำกัด
4. MR. CHRIS LEVY , CONCRETE CONSTRUCTIONS (THAILAND) CO.,LTD

สุดท้ายนี้ คุณประโยชน์อันพึงจะได้รับจากวิทยานิพนธ์ฉบับนี้ ผู้เขียนขอบมอบให้แก่ บิดา มารดา และครูบาอาจารย์ทุกท่าน และขอแสดงความกตัญญูตเวทิตา ต่อจุฬาลงกรณ์มหาวิทยาลัยและอาจารย์ทุกท่านที่ได้ประสิทธิ์ประสาทวิชาความรู้ ความสามารถให้แก่คณะผู้จัดทำด้วยความเคารพยกย่องอย่างสูง

ศูนย์วิทยทรัพยากร
นาง พัทธ์ศิรีภาพรรณ
จุฬาลงกรณ์มหาวิทยาลัย

สารบัญ

	หน้า
บทคัดย่อภาษาไทย	ง
บทคัดย่อภาษาอังกฤษ	จ
กิตติกรรมประกาศ	ฉ
สารบัญตาราง	ณ
สารบัญรูป	ญ
คำอธิบายสัญลักษณ์และคำย่อ	ฐ
บทที่	
1. บทนำ	1
1.1 ความนำ	1
1.2 ผลงานวิจัยที่ผ่านมา	1
1.3 วัตถุประสงค์ของการศึกษา	3
1.4 ขอบข่ายงานวิจัย	4
1.5 ข้อสมมติฐานที่ใช้ในการวิจัย	4
1.6 ประโยชน์ของการศึกษา	5
2. การสืบ การหดตัวจากการสูญเสียความชื้น และโมดูลัสปรับแก้อายุ	6
2.1 ความนำ	6
2.2 การเปลี่ยนแปลงของคอนกรีต	6
2.3 ความเครียดฉีกลาสติก	7
2.4 การสืบของคอนกรีต	7
2.5 การหดตัวจากการสูญเสียความชื้นของคอนกรีต	8
2.6 หลักการรวมผลโดยตรง	9
2.7 สัมประสิทธิ์อายุ	10
2.8 การคลายตัวของคอนกรีต	12
3. การวิเคราะห์โครงสร้างเชิงประกอบระนาบ 2 มิติ ตามเวลาการก่อสร้าง	19
3.1 ความนำ	19
3.2 การวิเคราะห์โครงสร้างภายใต้การรับน้ำหนักกระทำทันทีทันใด	19
3.3 การวิเคราะห์โครงสร้างภายใต้ผลเชิงเวลา	24
4. ตัวอย่างการวิเคราะห์	36
4.1 ความนำ	36
4.2 ตัวอย่างที่ 1 เสาคอนกรีตเสริมเหล็กรับน้ำหนักบรรทุกคงที่ค่าเดียว	36

สารบัญ (ต่อ)

บทที่	หน้า
4.3 ตัวอย่างที่ 2 เสาคอนกรีตเสริมเหล็กรับน้ำหนักบรรทุกค้ำ 4 ชั้นตอน.....	41
4.4 ตัวอย่างที่ 3 โครงข้อแข็งพอร์ทัล (Portal frame) 1 ชั้น.....	44
4.5 ตัวอย่างที่ 4 อาคารใบหยก 2.....	45
5. สรุปผลการวิจัย	75
รายการอ้างอิง	77
ภาคผนวก	80
ก สมการการคืบ และการหดตัวจากการสูญเสียความชื้นของคอนกรีตตามคณะกรรมการ ACI 209 (1985)	81
ข สมการการวิเคราะห์การหดตัวอิสระของเสาเชิงประกอบจากผลเชิงเวลา โดยวิธีโมดูลัส ปรับแก้อายุ (AEMM)	85
ค รายละเอียดข้อมูลและผลการวิเคราะห์ตัวอย่างที่ 1 เสาคอนกรีตเสริมเหล็กรับน้ำหนัก บรรทุกค้ำที่ค่าเดียว	99
ง รายละเอียดข้อมูลและผลการวิเคราะห์ตัวอย่างที่ 2 เสาคอนกรีตเสริมเหล็กรับน้ำหนัก บรรทุกค้ำ 4 ชั้นตอน	115
จ รายละเอียดข้อมูลและผลการวิเคราะห์ตัวอย่างที่ 3 โครงข้อแข็งพอร์ทัล (Portal frame)	144
ฉ รายละเอียดข้อมูลและผลการวิเคราะห์ตัวอย่างที่ 4 อาคารใบหยก 2	150
ช รายละเอียดการทำงานของโปรแกรมคอมพิวเตอร์	186
ประวัติผู้เขียน	192

ศูนย์วิทยพัชยากร
จุฬาลงกรณ์มหาวิทยาลัย

สารบัญตาราง

ตารางที่	หน้า
4.1 แสดงคุณสมบัติต่าง ๆ ของคอนกรีต และเหล็กเสริม (ตัวอย่างที่ 1)	37
4.2 แสดงค่าสัมประสิทธิ์การคืบ (Creep coefficient) และสัมประสิทธิ์อายุ (Aging coefficient) ในช่วงเวลาต่าง ๆ ของคอนกรีต(ตัวอย่างที่ 1)	37
4.3 แสดงการเปรียบเทียบการหดตัวตามเวลาของเสาโดยวิธีต่าง ๆ กับวิธีของ Beasley (1994) (ตัวอย่างที่ 1)	38
4.4 แสดงการเปรียบเทียบแรงตามเวลาภายในเหล็กเสริมของเสาโดยวิธีต่าง ๆ กับวิธีของ Beasley (1994) (ตัวอย่างที่ 1)	39
4.5 แสดงการเปรียบเทียบแรงตามเวลาภายในคอนกรีตของเสาโดยวิธีต่าง ๆ กับวิธีของ Beasley (1994) (ตัวอย่างที่ 1)	39
4.6 แสดงค่าการหดตัวของเสา และเปอร์เซ็นต์ความแตกต่างที่คำนวณโดยวิธีของ Beasley (1994)	40
4.7 แสดงค่าการหดตัวของเสา และเปอร์เซ็นต์ความแตกต่างที่คำนวณโดยวิธีประมาณ	40
4.8 แสดงเปอร์เซ็นต์ความแตกต่างระหว่างวิธี Beasley (1994) และวิธีโดยประมาณที่เวลาสุดท้าย	40
4.9 แสดงแรงตามเวลาภายในเหล็กเสริมของเสา โดยวิธีของ Beasley (1994) (ตัวอย่างที่ 1)	41
4.10 แสดงแรงตามเวลาภายในคอนกรีตของเสา โดยวิธีของ Beasley (1994) (ตัวอย่างที่ 1)	41
4.11 แสดงค่าความเครียดหดตัวของคอนกรีตที่เวลาต่าง ๆ (ตัวอย่างที่ 2)	42
4.12 แสดงค่าโมดูลัสยืดหยุ่นของคอนกรีตที่เวลาต่าง ๆ (ตัวอย่างที่ 2)	42
4.13 แสดงการเปรียบเทียบการหดตัวตามเวลาของเสาโดยวิธีในงานวิจัยกับวิธีแรง Gilbert (1988) (ตัวอย่างที่ 2)	43
4.14 แสดงการเปรียบเทียบแรงภายในเหล็กเสริมตามเวลาของเสาโดยวิธีในงานวิจัยกับวิธีแรง Gilbert (1988) (ตัวอย่างที่ 2)	43
4.15 แสดงการเปรียบเทียบแรงภายในคอนกรีตตามเวลาของเสาโดยวิธีในงานวิจัยกับวิธีแรง Gilbert (1988) (ตัวอย่างที่ 2)	44
4.16 แสดงคุณสมบัติต่าง ๆ ของวัสดุ (ตัวอย่างที่ 3)	44
4.17 แสดงการเปรียบเทียบค่าโมเมนต์ลบที่หัวเสา และโมเมนต์บวกที่กึ่งกลางคานในช่วงเวลา 28 วันถึง 30 ปีระหว่างงานวิจัยนี้กับวิธีแรง Neville และคณะฯ (1983) (ตัวอย่างที่ 2)	45
4.18 แสดงคุณสมบัติต่าง ๆ และน้ำหนักบรรทุกกระทำตามแนวแกนของเสา CA , CC และ CB ในอาคารไบนยอก 2 (ตัวอย่างที่ 4)	46
4.19 แสดงค่าการหดตัวอย่างอิสระของเสา CA , CC และ CB เมื่อก่อสร้างถึงชั้นที่ 65	51
4.20 แสดงค่าการหดตัวที่พิจารณาผลการยัดตั้งจากคานของเสา CA , CC และ CB เมื่อก่อสร้างถึงชั้นที่ 65	53

สารบัญตาราง (ต่อ)

ตารางที่	หน้า
4.21 แสดงค่าการหดตัวอย่างอิสระของเสา CA , CC และ CB ที่เวลา 10 ปี	55
4.22 แสดงค่าการหดตัวที่พิจารณาผลการยี้ดรั้งจากคานของเสา CA , CC และ CB ที่เวลา 10 ปี	57



ศูนย์วิทยพัทยากร
จุฬาลงกรณ์มหาวิทยาลัย

สารบัญรูป

รูปที่	หน้า
2.1 องค์ประกอบความเครียดของคอนกรีตภายใต้หน่วยแรงคด้าง	15
2.2 ความสัมพันธ์ระหว่างความเครียดและหน่วยแรงในคอนกรีต	15
2.3 พฤติกรรมการคืบ (Creep) ตามเวลาในคอนกรีตภายใต้น้ำหนักบรรทุกคด้าง	16
2.4 หลักการรวมกันโดยตรง (Principle of superposition) ของความเครียดคอนกรีตที่เวลาใด ๆ เนื่องจากหน่วยแรงกระทำที่เวลาต่าง ๆ กัน	16
2.5 หน่วยแรงที่แปรเปลี่ยนไปตามเวลาภายใต้น้ำหนักบรรทุกคด้าง	17
2.6 ความสัมพันธ์ระหว่างความเครียดจากหน่วยแรงคด้างและหน่วยแรงที่แปรเปลี่ยนกับเวลา	17
2.7 พฤติกรรมของการคลายตัวของคอนกรีตจากหน่วยแรงที่แปรเปลี่ยนไปตามเวลา	18
3.1 ชั้นส่วนเชิงประกอบคอนกรีตและเหล็กเสริม	32
3.2 วิธีการวิเคราะห์โครงสร้างตามเวลา	33
3.3 การวิเคราะห์ผลของการคืบ และการหดตัวของหน้าตัดคอนกรีตเชิงประกอบที่ไม่แตกร้าว (Uncracked section)	34
3.4 ขั้นตอนการวิเคราะห์โครงสร้างเชิงเวลาตามขั้นตอนการก่อสร้าง	35
4.1 น้ำหนักบรรทุกคด้างคงที่ค่าเดียวในโครงสร้างเสาเดียว (ตัวอย่างที่ 1)	60
4.2 น้ำหนักบรรทุกคด้าง 4 ชั้นตอนในโครงสร้างเสาเดียว (ตัวอย่างที่ 2)	60
4.3 หน่วยแรงคด้างในคอนกรีตของโครงสร้างเสาเดียว (ตัวอย่างที่ 1)	61
4.4 หน่วยแรงคด้างในเหล็กเสริมของโครงสร้างเสาเดียว (ตัวอย่างที่ 1)	62
4.5 หน่วยแรงคด้างในคอนกรีตที่แปรเปลี่ยนพื้นที่หน้าตัดของโครงสร้างเสาเดียว (ตัวอย่างที่ 1)	63
4.6 หน่วยแรงคด้างในเหล็กเสริมที่แปรเปลี่ยนพื้นที่หน้าตัดของโครงสร้างเสาเดียว (ตัวอย่างที่ 1)	63
4.7 การเปรียบเทียบการหดตัวของเสาที่คำนวณโดยวิธีของ Beasley (1994) กับวิธีโดยประมาณ เมื่อเปลี่ยนแปลงปริมาณเหล็กเสริม (ตัวอย่างที่ 1)	64
4.8 หน่วยแรงคด้างในคอนกรีตของโครงสร้างเสาเดียว (ตัวอย่างที่ 2)	65
4.9 หน่วยแรงคด้างในเหล็กเสริมของโครงสร้างเสาเดียว (ตัวอย่างที่ 2)	66
4.10 โครงสร้างพอร์ทัล (Portal frame)) 1 ชั้น (ตัวอย่างที่ 3)	67
4.11 ผลรวมโมเมนต์ดัดที่เวลาเริ่มแรกและเวลาสุดท้ายของโครงสร้างพอร์ทัล (Portal frame) (ตัวอย่างที่ 3)	68
4.12 ผังอาคารใบหยก 2	69
4.13 หน้าตัดเสา CA	70
4.14 รูปตัดตามขวางของอาคารใบหยก 2	71
4.15 โครงสร้างจำลอง (Idealized structure) ที่ใช้ในการวิเคราะห์อาคารใบหยก 2	72

สารบัญรูป (ต่อ)

รูปที่	หน้า
4.16 การหดตัวของเสา CA , CC และ CB อย่างอิสระ และคิดผลการยึดรั้งจากคาน เมื่อก่อสร้างถึงชั้นที่ 65 (ตัวอย่างที่ 4)	73
4.17 การหดตัวของเสา CA , CC และ CB อย่างอิสระ และคิดผลการยึดรั้งจากคาน ณ เวลา 10 ปี (ตัวอย่างที่ 4)	74
ข.1 เสาสั้นคอนกรีตเสริมเหล็กแบบสมมาตรรับน้ำหนัก P กระทำตามแนวแกน	98



ศูนย์วิทยทรัพยากร
จุฬาลงกรณ์มหาวิทยาลัย

คำอธิบายสัญลักษณ์และคำย่อ

- a = ค่าคงที่
 $[a]$ = เมตริกซ์แปลงของการเปลี่ยนตำแหน่ง
 A_c = พื้นที่หน้าตัดของคอนกรีต
 A_{si} = พื้นที่หน้าตัดของเหล็กเสริมใด ๆ หรือส่วนเล็ก ๆ ที่พิจารณาในเหล็กรูปพรรณ
 b = ค่าคงที่
 $E_c(t_0)$ = โมดูลัสยืดหยุ่นซีแคนต์ของคอนกรีตที่อายุ t_0
 $\bar{E}_c(t, t_0)$ = ค่าโมดูลัสเทียบเท่าปรับแก้อายุของคอนกรีตจากเวลา t_0 ที่มีน้ำหนักกระทำเริ่มแรกถึงเวลา t
 $\bar{E}_c(t_j, t_0)$ = โมดูลัสยืดหยุ่นปรับแก้อายุเฉลี่ยของคอนกรีตจากเวลา t_0 ที่มีน้ำหนักกระทำเริ่มแรกถึงเวลา t_j
 E_s = โมดูลัสยืดหยุ่นของเหล็กเสริม
 $\{F\}_{(t, t_0)}$ = แรงยึดรั้งลมมติกกระทำที่จุดต่อของชิ้นส่วน
 i = เหล็กเสริมที่พิจารณา
 I_c = โมเมนต์ความเฉื่อยของคอนกรีต
 I_{si} = โมเมนต์ความเฉื่อยของเหล็กเสริมใด ๆ หรือส่วนเล็ก ๆ ของเหล็กรูปพรรณ
 $[K]_{t_0}^c$ = สติฟเนสเมตริกซ์รวมของทั้งระบบที่เวลา t_0
 $[k]^c$ = สติฟเนสเมตริกซ์ย่อยในระบบโคออร์ดิเนตประจำตัวของคอนกรีตในแต่ละชิ้นส่วน
 $[k]^s$ = สติฟเนสเมตริกซ์ย่อยในระบบโคออร์ดิเนตประจำตัวของเหล็กในแต่ละชิ้นส่วน
 $[K]_{t_0}^c, [K]_{t_0}^s$ = สติฟเนสเมตริกซ์ย่อยของคอนกรีต และเหล็กเสริมตามลำดับ แต่ละชิ้นส่วนในระบบโกลบอลโคออร์ดิเนตที่เวลา t_0
 $[k]_{t_0}^c, [k]_{t_0}^s$ = สติฟเนสเมตริกซ์ย่อยของคอนกรีต และเหล็กเสริมตามลำดับ ในระบบโคออร์ดิเนตประจำตัว (Local coordinate system) ที่เวลา t_0 ของชิ้นส่วนเชิงประกอบ
 $[k]_{t_0}$ = สติฟเนสเมตริกซ์ย่อยของชิ้นส่วนเชิงประกอบที่รวมทั้งคอนกรีต และเหล็กเสริมในระบบโคออร์ดิเนต (Local coordinate) ประจำตัวที่เวลา t_0
 $[K']_{t, t_0}$ = สติฟเนสเมตริกซ์รวมปรับแก้อายุของทั้งระบบที่เวลา t_0 ถึงเวลา t
 $[K']_{t, t_0}^c, [K']_{t, t_0}^s$ = สติฟเนสเมตริกซ์ย่อยของคอนกรีตที่พิจารณาผลของโมดูลัสปรับแก้อายุ และเหล็กเสริมตามลำดับ แต่ละชิ้นส่วนในระบบโกลบอลโคออร์ดิเนตที่เวลา t_0 ถึงเวลา t
 $[K']_{j, t_0}$ = สติฟเนสเมตริกซ์รวมปรับแก้อายุเฉลี่ยของทั้งระบบที่เวลา t_0 ถึงเวลา t_j
 $[k']_{t, t_0}^c$ = สติฟเนสเมตริกซ์ย่อยปรับแก้อายุของคอนกรีตในระบบโคออร์ดิเนตประจำตัวเวลา t_0 ถึงเวลา t

คำอธิบายสัญลักษณ์และคำย่อ (ต่อ)

- L = ความยาวของชิ้นส่วน
 $M_{1,2}(t, t_0)$ = โมเมนต์ดัดที่ใช้ยึดรั้งที่ปลายชิ้นส่วนทั้งสองข้างในช่วงเวลา t_0 ถึงเวลา t
 m_1, m_2 = โมเมนต์ดัดภายในที่เกิดขึ้นเนื่องจากโมเมนต์ดัด 1 หน่วยกระทำที่ข้อต่อแรกและข้อต่อปลายของชิ้นส่วนตามลำดับ
 $N_{1,2}(t, t_0)$ = แรงตามแนวแกนที่ใช้ยึดรั้งที่ปลายชิ้นส่วนทั้งสองข้างในช่วงเวลา t_0 ถึงเวลา t
 n = ตำแหน่งขององค์อาคารที่พิจารณา
 n_1 = แรงกระทำตามแนวแกนที่เกิดขึ้นเนื่องจากแรงกระทำ 1 หน่วยกระทำที่ข้อต่อปลายทั้งสองด้าน
 NM = จำนวนขององค์อาคาร (Member) ของโครงสร้างที่พิจารณาที่เวลา t_0
 $\{P\}_{t_0}$ = เวกเตอร์ของแรงกระทำที่ขั้วจากภายนอก ณ เวลา t_0
 $\{P_0\}_{t_0}$ = เวกเตอร์ของแรงกระทำยึดรั้งที่ขั้วเนื่องจากน้ำหนักบรรทุกกระจายกระทำบนชิ้นส่วน ณ เวลา t_0
 $\{P'\}_{t_0}$ = เวกเตอร์แรงยึดรั้งรวมทั้งขั้วของจุดยึดปลายที่เกิดขึ้นจากผลของแรงกระทำคงค้างจากเวลา t_0 ถึงเวลา t ภายใต้ผลของการคืบ และการหดตัวของคอนกรีต
 $r(t, t_0)$ = ฟังก์ชันการคลายตัว (Relaxation function) ของคอนกรีตในช่วงเวลา t_0 ถึงเวลา t
 $\{S\}_{t_0}$ = เวกเตอร์แรงภายในของชิ้นส่วนเนื่องจากแรงกระทำ ณ เวลา t_0
 $\{S_0\}_{t_0}$ = เวกเตอร์แรงภายในของชิ้นส่วนที่สภาวะยึดแน่น ณ เวลา t_0
 $\{S\}_{t_0}$ = เวกเตอร์แรงภายในของชิ้นส่วน ณ เวลา t_0 ถึงเวลา t
 $\{S\}_u^s$ = เวกเตอร์แรงกระทำที่ขั้วของเหล็กเสริมที่สอดคล้องกับค่าของ $\{u\}$
 $\{S\}_w^s$ = เวกเตอร์แรงกระทำที่ขั้วของเหล็กเสริมที่สอดคล้องกับค่าของ $\{w\}$
 t_0 = อายุของคอนกรีตที่เวลาเริ่มแรกมีน้ำหนักกระทำ
 t_j = เวลาเฉลี่ยในช่วงระหว่างเวลา t_j ถึงเวลา t_{j+1}
 $\{u\}_{t_0}$ = เวกเตอร์การเปลี่ยนแปลงตำแหน่งที่สอดคล้องกับชิ้นส่วนที่พิจารณา ณ เวลา t_0
 $\{u'\}_{j,0}$ = เวกเตอร์การเปลี่ยนแปลงตำแหน่งของขั้วจากเวลา t_0 ถึงเวลา t_j อันเป็นผลมาจากการคืบ และการหดตัวของคอนกรีต
 $\{u\}_{j+1,j}$ = เวกเตอร์ของการเปลี่ยนแปลงตำแหน่งโคออร์ดิเนต ณ เวลา t_j ถึงเวลา t_{j+1}
 $u(x, z)$ = เป็นระยะการเปลี่ยนตำแหน่งในแนวแกนของจุด (x, z) ใด ๆ
 $u_0(x)$ = เป็นระยะการเปลี่ยนตำแหน่งในแนวแกนของจุดบนแกนสะเทิน (Neutral axis) ของหน้าตัดคอนกรีตที่ระยะ x
 u_1, u_2 = ระยะการเปลี่ยนตำแหน่งตามแนวแกนที่ขั้วทั้งสอง
 $V_{1,2}(t, t_0)$ = แรงตามแนวแกนที่ใช้ยึดรั้งที่ปลายชิ้นส่วนทั้งสองข้างในช่วงเวลา t_0 ถึงเวลา t

คำอธิบายสัญลักษณ์และคำย่อ (ต่อ)

- $w(x)$ = เป็นระยะการเปลี่ยนตำแหน่ง (Transverse displacement) ของจุดบนแกนระนาบของหน้าตัดคอนกรีตที่ระยะ x
 w_1, w_2 = ระยะการเปลี่ยนตำแหน่งในแนวที่ตั้งฉากกับแนวแกนที่ขั้วทั้งสอง
 z = ระยะใด ๆ ที่วัดในแนวตั้งจากแนวแกนระนาบถึงตำแหน่งที่พิจารณา
 $\{B\}, \{\psi\}$ = ฟังก์ชันรูปร่างในรูปของโพลิโนเมียลเชิงเส้น (Linear polynomial) และโพลิโนเมียลอันดับสาม (Cubic polynomial)
 $\{B\}_s(t)$ = ฟังก์ชันไร้มิติขึ้นกับช่วงเวลาพิจารณา
 $\{\delta u\}, \{\delta w\}$ = ระยะการเปลี่ยนตำแหน่งสมมติใด ๆ ที่เล็กมาก (Infinitesimal virtual displacement) จากตำแหน่งสมมูลย์
 δU_c = พลังงานความเครียดสมมติภายในคอนกรีต
 δU_s = พลังงานความเครียดสมมติภายในเหล็ก
 δW = งานสมมติจากภายนอก
 $\delta \epsilon_{xx}$ = ค่าความเครียดสมมติในแนวแกน x
 $\epsilon(t, t_0)$ = ความเครียดทั้งหมดในช่วงระหว่างเวลา t_0 ถึงเวลา t
 $\epsilon_e(t_0)$ = ความเครียดอีลาสติกที่เกิดขึ้นทันทีทันใดที่เวลา t_0
 $\epsilon_c(t, t_0)$ = ความเครียดคืบ (Creep strain) ของคอนกรีตในช่วงเวลา t_0 ถึงเวลา t
 $\epsilon_{sh}(t, t_{sh})$ = ความเครียดหดตัวอิสระ (Shrinkage strain) จากการสูญเสียความชื้นในช่วงระหว่างเวลา t_{sh} ถึงเวลา t
 $(\epsilon_{sh})_u$ = ค่าความเครียดหดตัวสุดท้าย (Ultimate shrinkage strain)
 $\epsilon_{xx}(x, z)$ = ค่าความเครียดที่เกิดขึ้นจริงตามแนวแกน x
 θ_1, θ_2 = มุมหมุนของการเปลี่ยนตำแหน่งจากแนวแกนที่ขั้วทั้งสอง
 $\sigma_0(t_0)$ = หน่วยแรงที่เกิดขึ้นทันทีทันใดที่เวลา t_0
 $\sigma_c(t_0)$ = หน่วยแรงของคอนกรีตที่เวลา t_0
 $\sigma_{c,ec}(t)$ = หน่วยแรงทั้งหมดในคอนกรีตเนื่องจากการเปลี่ยนแปลงในช่วงอีลาสติก และการคืบในช่วงระหว่างเวลา t_0 ถึงเวลา t
 $\sigma_{c,sh}(t)$ = หน่วยแรงทั้งหมดในคอนกรีตเนื่องการหดตัวจากการสูญเสียความชื้นในช่วงระหว่างเวลา t_0 ถึงเวลา t
 σ_{xx} = หน่วยแรงในแนวแกนที่เกิดขึ้นจริงตามแนวแกน x
 τ = เวลาที่พิจารณาอยู่ในช่วงเวลา t_0 ถึงเวลา t
 $\phi(t_\infty, t_0)$ = สัมประสิทธิ์ของการคืบ (Ultimate creep coefficient)
 $\phi(t, t_0)$ = สัมประสิทธิ์การคืบของคอนกรีตที่เวลา t เนื่องจากน้ำหนักกระทำเริ่มแรกที่เวลา t_0

คำอธิบายสัญลักษณ์และคำย่อ (ต่อ)

- $\chi(t, t_0)$ = สัมประสิทธิ์อายุจากเวลา t_0 ที่มีน้ำหนักกระทำเริ่มแรกถึงเวลา t
- $\psi(t_0)$ = ค่าความโค้ง (Curvature) ของหน้าตัดที่เวลา t_0
- ξ_1, ξ = พังค์ชั้นเวลาไรมิติ
- γ_c = ตัวประกอบปรับแก้สัมประสิทธิ์การคืบของคอนกรีต
- γ_{sh} = ตัวประกอบปรับแก้สัมประสิทธิ์การหดตัวของคอนกรีต
- $\Delta L(t, t_0)$ = ระยะการยิด (หรือหดตัวซึ่งจะเป็นเครื่องหมายลบ) ตามแนวแกนของชิ้นส่วนที่เปลี่ยนแปลงไปในช่วงเวลา t_0 ถึงเวลา t
- $\Delta M_{1,2}(t_{j+1}, t_j)$ = โมเมนต์ที่ใช้ยึดรั้งที่ปลายชิ้นส่วนทั้งสองข้างในช่วงเวลา t_j ถึงเวลา t_{j+1}
- $\Delta N_{1,2}(t_{j+1}, t_j)$ = แรงตามแนวแกนที่ใช้ยึดรั้งปลายชิ้นส่วนทั้งสองข้างในช่วงเวลา t_j ถึงเวลา t_{j+1}
- $\{\Delta P\}_{j+1, j}$ = เวกเตอร์แรงยึดรั้งรวมทั้งตัวของจุดยึดปลายที่เกิดขึ้นจากผลของแรงกระทำคงค้างที่เวลา t_j ถึงเวลา t_{j+1} ภายใต้ผลของการคืบ และการหดตัวของคอนกรีต
- $\{\Delta S\}_{j+1, j}$ = เวกเตอร์ของแรงภายในชิ้นส่วนเนื่องจากแรงกระทำในช่วงเวลา t_j ถึงเวลา t_{j+1}
- $\{\Delta u\}_{j+1, j}$ = เวกเตอร์ของระยะการเปลี่ยนแปลงตำแหน่งที่สอดคล้องกับชิ้นส่วนที่พิจารณาในช่วงเวลา t_j ถึงเวลา t_{j+1}
- $\Delta V_{1,2}(t_{j+1}, t_j)$ = แรงเฉือนที่ใช้ยึดรั้งที่ปลายชิ้นส่วนทั้งสองข้างในช่วงเวลา t_j ถึงเวลา t_{j+1}
- $\Delta \mathcal{E}(t, t_0)$ = การเปลี่ยนแปลงความเครียดตามแนวแกนที่เกิดขึ้นในช่วงเวลา t_0 ถึงเวลา t ภายใต้ผลของการคืบ และการหดตัว
- $\Delta \mathcal{E}_c(t, t_0)$ = ความเครียดคืบเนื่องจากหน่วยแรงที่แปรเปลี่ยนในช่วงเวลา t_0 ถึงเวลา t
- $\Delta \mathcal{E}_{sh}(t_{j+1}, t_j)$ = ความเครียดหดตัวอิสระที่เกิดขึ้นในช่วงระหว่างเวลา t_j ถึงเวลา t_{j+1}
- $\Delta \theta_{1,2}(t, t_0)$ = มุมหมุนที่ข้อต่อแรกและปลายของชิ้นส่วนที่เปลี่ยนแปลงไปในช่วงเวลา t_0 ถึงเวลา t
- $\Delta \psi(t, t_0)$ = การเปลี่ยนแปลงค่าความโค้งของหน้าตัดที่เกิดขึ้นในช่วงเวลา t_0 ถึงเวลา t ภายใต้ผลของการคืบ และการหดตัวของคอนกรีต
- $\Delta \sigma_c(t)$ = หน่วยแรงที่เพิ่มขึ้นเกิดขึ้นที่เวลา t ภายใต้น้ำหนักบรรทุกคงค้าง
- $\Delta \phi(t_{j+1}, t_j)$ = สัมประสิทธิ์การคืบที่เกิดขึ้นในช่วงระหว่างเวลา t_j ถึงเวลา t_{j+1}